

II-111 管路による土砂輸送に関する研究

東京工業大学教授 正会員 吉川秀夫
 千葉県立 正会員 ○河北慶介
 日本機械化研究所 竹之内博幸

§1. まえがき

管路による土砂輸送に関する研究は、従来から数多く見られるが、二相流体特有の複雑な性状を統一して解析するには至っていないようと思われる。本研究では、はじめに、土砂を含む二相による抵抗の変化と、砂粒子と流水との相対速度によるものと仮定し、解析を試みたものである。次に、1/4ピッチのらせんサン粗度を、ある間隔毎に管内に挿入し、らせん挿入による抵抗変化を示し、らせん流のモデル化を試みたものである。

§2. 実験

実験は、前回の講演集に述べてあるように、管径3cm
 測定区間長6m、砂粒子平均粒径 $d_m = 0.02, 0.067, 0.089, 0.18$ cm
 の4種類、らせんサン粗度挿入は、図(1)に示す如くである。

§3. 抵抗法則(1) — plain wall pipe

1. 压力損失(ΔP)を、a) 清水(I_w)、b) 土砂($I_m - I_w$)に分割
2. 粒子が底面運動するものと、仮定する。

すなはち、底面粒子との相対速度による推力は、粒子による圧力損失と等しいと、置くならば

$$\frac{U_s}{V} = 1 - \sqrt{\frac{47 dm (1-C)^2 (I_m - I_w)}{3 V^2 C \{1 + CS^{-1}\} G_D}} \quad (1)$$

ここで、 U_s = 粒子平均速度、 V = 平均流速、 C = 平均濃度、 S = 粒子比重。

また、 $G_D = f(R_e)$; $R_e = (U_w - U_s) d_m / \mu(C)$ (2)

$$L(C) = L_{w0} \{ 1 + 2.5C + 10.05C^2 + \exp(16.6C) \} \quad (\text{Thomas 1965}) \quad (3)$$

ここで、 G_D = 抵抗係数、 U_w = 流水速度、 $L(C)$ = 見掛け上摩擦係数、

3. 一方、渦運動における濃度分布を規定する量は、 w_s/U_s or w_s/U_w (w_s = 渦降速度、 U_s = 摩擦速度)

以上より、 U_s/V と w_s/U_s の関係をプロットしたのが、図(2)である。

§4. 抵抗法則(2) — rifled wall pipe

らせん流と、a) swirling flow による friction loss

b) rifled rib による form loss に分割すると、

Total の圧力損失は

$$\Delta P_{\text{tot}} = \Delta P(a) + \Delta P(b)$$

$$= \frac{1}{2} \rho \Delta P(a) V_w = f \frac{l}{D} \frac{1}{2} \left(\frac{V}{\cos \theta} \right)^2 \quad (4)$$

$$\Delta P(b) V_w = G_D (a_0/A) \times (V/l) \frac{V^2}{2} \quad (5)$$

4式と、 f = 摩擦係数、 l = 測定長、 D = 管径、

θ = らせん流のねじれ角、 $V/\cos \theta$ = 見掛け上の速度

増加を意味する。5式と、 G_D = form loss 係数

$a_0 = \tau$ = 粒度の射影面積、 A = 管断面積、 n = 測定

長内のサン粗度数。一方、5式における G_D の評価は、次の表に示すとく、行う。

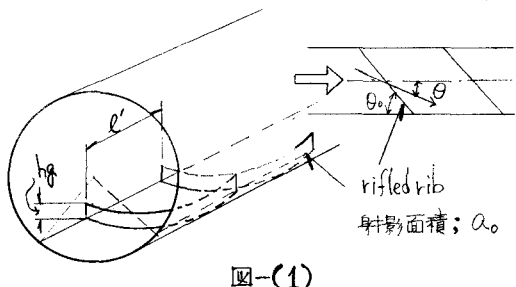


図-(1)

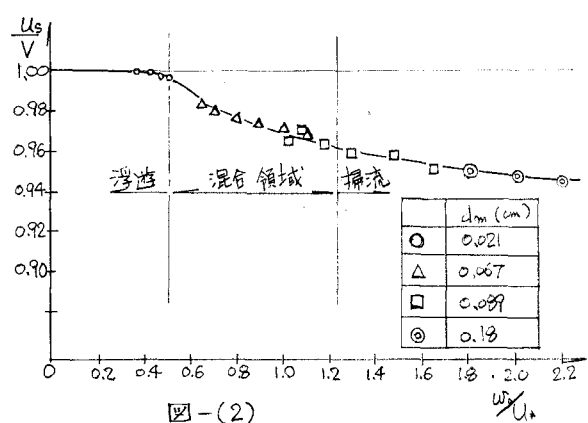


図-(2)

1. rifled rib・挿入角度 ; θ_0
 2. " の管内断面積に対する比 = a/A
 3. " の間隔と高さの比 ; l/h_g 呈立式⁽²⁾のshattering effectを考慮し、有効高さの変化をみる。
- $C_D = C_{Dn} \cdot \sin^2 \theta_0$ $C_{Dn}; \theta_0=90^\circ$ の場合の大リフスを利用。
 $C_{Dn}=0.6 C_D$ (二次元から、三次元へ)

以上より、清水時のらせん流の抵抗係数の本のが、図-(3)、(4)である。

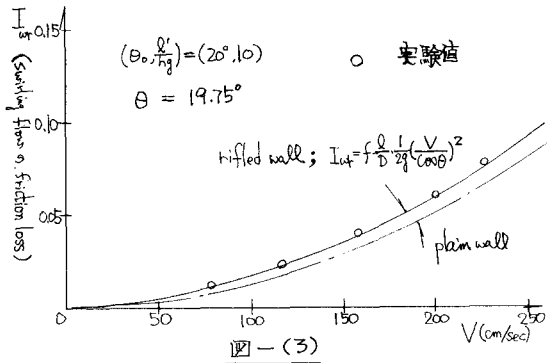


図-(3)

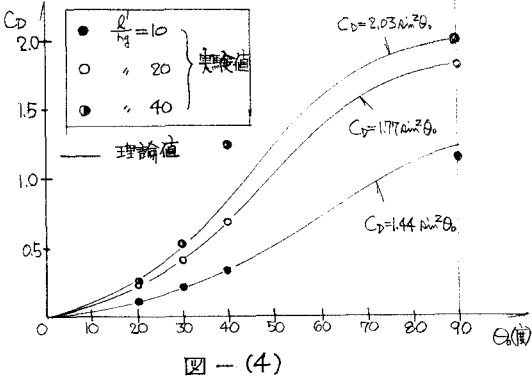


図-(4)

3.5. 抵抗係数 (3)

土砂を含んだらせん流の抵抗の変化を、3)と同様に図示すると、図-(5)である。これより、rifled wall pipeによる土砂輸送量を考えるに当り、粒子のらせん運動による抵抗の変化を考慮する必要がある。

3.6. 輸送効率

輸送効率 (E) を、エネルギー消費量に対する土砂輸送量と、定義するならば、最大の輸送効率を得る条件は、管端に土砂が堆積する直前の限界堆積状態の輸送である。plain wall pipeと比較して、rifled wall pipeの場合堆積状況が異なる。すなわち、後者の場合、限界堆積速度は、小さくなる。また、本実験において、 $d_m=0.02 \text{ cm}^2$ では、 E (効率) 自体は増加するが、エネルギー消費を増大し、rifleが逆効果という結果が得られる。一方、 $d_m=0.07 \text{ cm}^2$ 以上では、ある平均流速(V_a)を境に、 $V < V_a$ では、rifle有効、 $V > V_a$ では、plain有効といいう結果を得た。さらに、Howard⁽³⁾によれば、 $d_m > 0.2 \text{ cm}^2$ では、全般的に、rifle有効といいう結果が得られていく。

ここで、らせん管粗度の特性($\theta_0, l/h_g$)に対する最大の輸送効率 $E_{max} = SC/I_m$ を求めると、図-(6)に示すやうである。ここで、横軸には、 $(\theta_0, l/h_g)$ によって決定される流れの有効ねじれ角(θ)を、parameterとして、限界流砂量 $\partial_b (\text{cm}^3/\text{sec})$ を取っている。

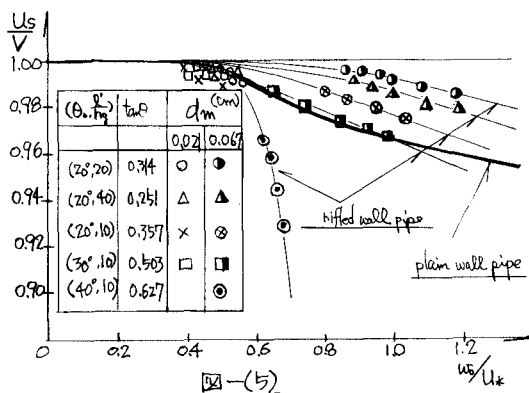


図-(5)

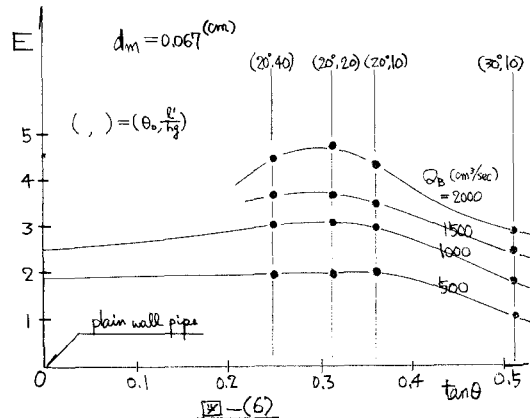


図-(6)

- 参考文献
 1. Goldstein, S. "Modern developments in fluid dynamics" Volume II, p.439
 2. Akashi, S. "Artificial roughness in open channel models Proceedings of the U.S.-Japan seminar on similitude in fluid mechanics Sep. 21-28 1967".
 3. Howard, G.W. "Effects of rifling on four inch pipe transporting solids". RASCE, Vol 65(2) 1939